

vascular adjustment to exercise in dog  
964, 207, N 6, p. 1325—1328.  
myocardial and substrate utilisation.—  
relation to exercise.—Pflüg. Arch., 1976,  
A model to studying autonomic control  
p. 1017—1021.  
peripheral resistance.—Experientia, 1976,

Поступила в редакцию  
28.VI 1978 г.

Dmitrieva  
ON HEMODYNAMICS  
DENERVATION

studied in narcotized dogs with cardiac  
hemodynamic parameters are shown to  
amplitude of the cardiovascular system  
se. A suggestion is made that the heart  
mics but under stress conditions when  
sary, central regulatory mechanisms are

см. [3, 6]. В это же время в интиматном  
изучении японские авторы показали, что в макротканях венозных дренажных  
сосудов из эпендимного эпендима ядко синтезирует О<sub>2</sub>, а в венозных  
тканях макроцитарах ядерные макроцитарах с кровеносными макроцитами  
имеют различные типы гемодиализа между ядко и О<sub>2</sub>. Так, в ядке  
они, в отличие от ядерных макроцитаров, имеют зону ядка, в которой  
УДК 616.12

#### А. Братштрем

### НАСТРОЙКА ДИАПАЗОНА ЧУВСТВИТЕЛЬНОСТИ БАРОРЕЦЕПТОРОВ КАРОТИДНЫХ СИНУСОВ

Диапазон изменений интенсивности раздражителя, как правило, превышает диапазон измерений рецепторов, воспринимающих этот раздражитель. Поэтому особенно существенно, что диапазон измерения может быть изменен эфферентной регуляцией рецепторов, которая приспособливает их чувствительность к абсолютной силе раздражителя. Эти процессы подробно исследованы для органов чувств (зрение, слух). Данные же о настройке диапазона измерения рецепторов вегетативных систем единичны.

Основное значение для регулирования артериального давления имеют барорецепторы дуги аорты и каротидных синусов. Будучи механорецепторами, они реагируют на деформацию [8] потоком афферентных сигналов. Адекватным раздражителем барорецепторов является АД, растягивающее стенку сосуда, в которой развивается напряжение, уравновешивающее растягивающую силу. Нервные структуры находятся во внешних слоях сосудистой стенки [16], выполняющей роль преобразователя адекватного раздражителя в специфическое воздействие, т. е. напряжение. Напряжение, действуя на мембрану рецептора, изменяет ее ионную проницаемость, в результате чего возникает рецепторный потенциал, который в свою очередь приводит к появлению импульсов в афферентном волокне. Таким образом, диапазон измерения барорецепторов может быть изменен двумя способами: 1) косвенно, путем изменения свойств сосудистой стенки, как преобразователя АД в напряжение и 2) непосредственно, путем изменения возбудимости нервных элементов рецептора.

Эфферентную иннервацию сино-каротидной зоны осуществляют волокна наружного каротидного нерва (*Nc*), которые происходят из краинального шейного узла и образуют в стенке бифуркации сонной артерии сплетение [16, 17]. Оно содержит катехоламины [17], которые в качестве симпатических передатчиков могут влиять как на степень сокращения гладких мышц, так и на проницаемость клеточных мембран и на энергетический обмен клеток. Тем самым они могут косвенно или непосредственно менять диапазон измерения барорецепторов.

Исследование влияния симпатической нервной системы на диапазон измерения включает изучение влияний эффеरентной иннервации на каротидный синус; местных процессов в каротидном синусе, вызываемых эффеरентными сигналами и значения эффеरентного контроля чувствительности сино-каротидных барорецепторов для рефлекторного регулирования АД.

*Циклическая и тоническая импульсация в наружном каротидном нерве: исследование предпосылок эффеरентного контроля барорецепто-*

Перевод с немецкого В. М. Хаютина, Т. И. Горюновой, Е. В. Лукошковой.

ров. Импульсация в  $Nc$  имеет симпатическое происхождение [3, 6]. Она представлена характерным для симпатических нервов чередованием залпов и пауз. Обращает на себя внимание соотношение во времени фаз циклической активности с колебаниями давления в каротидном синусе (рис. 1, A). Отдельные циклы возбуждения могут начинаться на самых различных интервалах до очередного пульсового повышения АД, но каждый цикл заканчивается спустя весьма постоянное время от этого

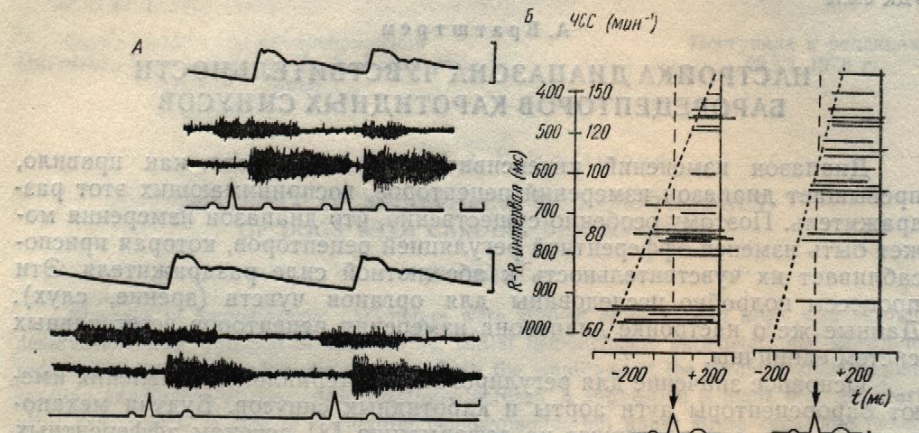


Рис. 1. Связь длительности циклических эффеरентных разрядов в наружном каротидном нерве ( $Nc$ ) с интервалами между сокращениями сердца. Данные на этом и всех следующих рисунках получены в опытах на собаках под морфинно-уретановым наркозом.

На А (сверху вниз): давление в язычной артерии (калиброка 100–200 мм рт. ст.), потенциалы  $Nc$ , залпы барорецепторов в сино-каротидном нерве той же стороны, ЭКГ, отметка времени — 100 мс; на Б длительность циклов активности в  $Nc$  при различных интервалах между сокращениями сердца — данные одного опыта, справа — усредненные данные 17 опытов.

момента. Можно предположить, что такие временные отношения обеспечивают преднастройку рецепторов к моменту действия на них пульсовых колебаний АД. Примечательно, что отмеченные временные соотношения поддерживаются весьма четко в широком диапазоне интервалов между сокращениями сердца (рис. 1, Б).

Более детальный анализ временных отношений (рис. 2) обнаружил два факта: 1) моменты резкого прекращения симпатического разряда отделены от начала тормозного залпа барорецепторов постоянным, почти одинаковым интервалом, равным примерно 200 мс и 2) конец барорецепторного залпа и начало симпатического разряда разделены интервалами, длительность которых тесно коррелирует с периодами между сокращениями сердца ( $R-R$  интервалами).

Таким образом, четко установлено, что начало симпатического разряда в  $Nc$  связано с деятельностью центра, регулирующего частоту сокращений сердца, тогда как прекращение разряда обусловлено рефлекторно — тормозным залпом барорецепторов. Исследования других авторов [6] в принципе согласуются с этими выводами, хотя из-за методических различий значения временных сдвигов могут отличаться.

Длительность отдельных циклов активности в  $Nc$  подвержена значительным колебаниям. Она наименьшая при высоком АД и коротких интервалах между сокращениями сердца.

Взаимосвязи дыхания и кровообращения [19] дают основание предполагать, что их переменные взаимные влияния способны изменять не только симпатическую импульсацию в  $Nc$  (синхронные с дыханием мо-

## Настройка диапазона чувствительности

дуляции), но и диапазон и дыханию колебаниях АД.

Итак, допустимо думать, что в состоянии симпатического разряда (СР) в каротидном нерве ( $I_1$ ) и интервале между окончанием барорецепторного залпа и началом следующего симпатического разряда ( $I_2$ ) с длительностью  $R-R$  интервалов.

Рис. 2. Корреляция интервала между началом барорецепторного залпа в сино-каротидном нерве (СКН) и окончанием симпатического разряда (СР) в каротидном нерве ( $I_1$ ) и интервале между окончанием барорецепторного залпа и началом следующего симпатического разряда ( $I_2$ ) с длительностью  $R-R$  интервалов.

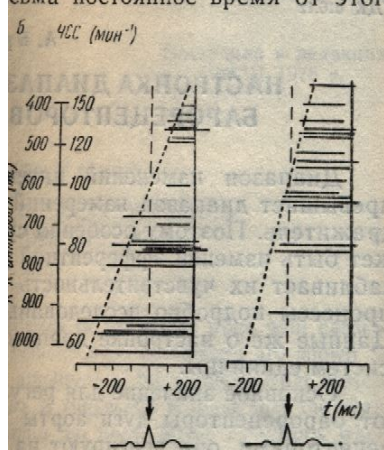
личины (уровнем АД) и интенсивности сигналов, которые поступают.

Наряду с циклическим в  $Nc$  представляют интерес изменения, поскольку при определении характеристику барорецепторов показала, что за каждую единицу времени в течение 20, 25 или 30 суток в циклическом росте активности показана сокращения сердца), так и тем самым потому, что абсолютным показателем частоты сердцебиения ожидается; см. линию регрессии.

Выход, следовательно, способен изменять уровень, могут меняться ее темп, временно подчинение циклическим влияниям не затрагивает.

**Местные процессы в синаптической импульсации.** Проводившиеся исследования эффеरентного конца мы можем перейти к вопросам. Прежде всего, были

еское происхождение [3, 6]. Она (атеросклеротических) нервов чередованием соотношение во времени фаз давления в каротидном синусе могут начинаться на самых пульсового повышения АД, но съема постоянное время от этого



ентных разрядов в наружном каротидном нерве сердца. Данные на этом и всех других под морфинно-уретановым наркозом.

нровка 100–200 мм рт. ст.), потенциалы  $Nc$ , стороны, ЭКГ, отметка времени – 100 мс;ных интервалах между сокращениями сердца; данные 17 опытов.

кие временные отношения обес-  
моменту действия на них пульса, что отмеченные временные со-  
ко в широком диапазоне интер-  
с. 1, Б).

отношений (рис. 2) обнаружил  
щения симпатического разряда артериальных разрядов постоянным, по-  
именно 200 мс и 2) конец баро-  
ского разряда разделены интер-  
ррелирует с периодами между  
ми).

что начало симпатического раз-  
центра, регулирующего частоту  
ление разряда обусловлено ре-  
цепторов. Исследования других  
этими выводами, хотя из-за ме-  
ых сдвигов могут отличаться.

тивности в  $Nc$  подвержена зна-  
ния при высоком АД и коротких

дения [19] дают основание пред-  
влияния способны изменять не-  
 $Vc$  (синхронные с дыханием мо-

### Настройка диапазона чувствительности

дуляции), но и диапазон измерения барорецепторов (при синхронных дыханию колебаниях АД).

Итак, допустимо думать, что уже в естественном («невозмущенном») состоянии симпатические влияния на сино-каротидные барорецепторы обеспечивают настройку этого «измерительного устройства» на естественный раздражитель (артериальный пульс). В этом случае должно существовать согласование между диапазоном измеряемой ве-

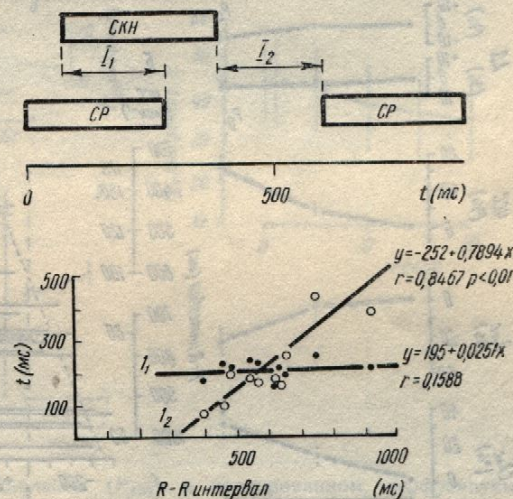


Рис. 2. Корреляция интервала между началом барорецепторного залпа в сино-каротидном нерве (СКН) и окончанием симпатического разряда (СР) в каротидном нерве ( $I_1$ ) и интервала между окончанием барорецепторного залпа и началом следующего симпатического разряда ( $I_2$ ) с длительностью  $R-R$  интервалов.

личины (уровнем АД) и интенсивностью и длительностью эfferентных сигналов, которые поступают к «измерительному устройству».

Наряду с циклическими изменениями симпатической импульсации в  $Nc$  представляют интерес ее более длительные (тонические) изменения, поскольку при определенных условиях они могут перестраивать характеристику барорецепторной зоны. Рис. 3 показывает тонические изменения импульсации  $Nc$  в результате кровопускания. Интенсивность импульсации оценивали, умножая среднюю длительность отдельных залпов  $Nc$  на их среднюю частоту за минуту. Такая численная оценка показала, что за каждую минуту симпатическая активность поддерживалась в течение 20, 25 или 30 с. Перестройка временных отношений отдельных фаз в циклах активности относительно пульса при тоническом росте активности показана на рис. 3, Б. Следует упомянуть, что тонический рост активности обусловлен как учащением ее циклов (более частые сокращения сердца), так и относительным удлинением циклов (относительным потому, что абсолютная длительность циклов уменьшается с ростом частоты сердцебиений, но не так сильно, как можно было бы ожидать; см. линию регрессии на рис. 3, Б).

Вывод, следовательно, таков: в тех пределах, в которых организм способен изменять уровень деятельности симпатической нервной системы, могут меняться ее тонические влияния на барорецепторы. Однако, временное подчинение циклической активности артериальному пульсу такие влияния не затрагивают.

*Местные процессы в области барорецепторов при изменениях эfferентной импульсации.* Показав потенциальные возможности существования эfferентного контроля сино-каротидных барорецепторов, мы можем перейти к вопросу о происходящих при этом местных процессах. Прежде всего, были изучены реакции стенки каротидного синуса

на раздражение и на выключение  $Nc$ . Для этого измеряли перфузионное давление в изолированной бифуркации сонной артерии, через которую пропускали кровь при постоянном расходе. Во время электрического раздражения  $Nc$  после скрытого периода порядка 10–15 с начиналось повышение перфузионного давления. Оно достигало нового установившегося значения в течение примерно 2 мин (рис. 4, А и Б). В принципе

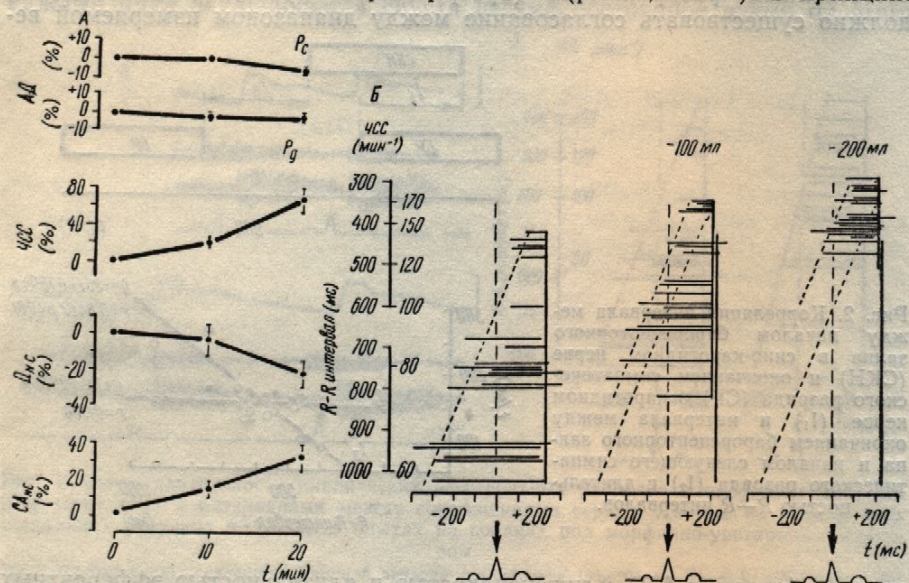


Рис. 3. Изменения артериального давления, частоты сердцебиений и симпатической активности в каротидном нерве, возникающие при потере крови со скоростью 10 мл/мин. На А (сверху вниз): артериальное давление ( $P_c$  — систолическое,  $P_d$  — диастолическое), частота сердцебиений (ЧСС), длительность циклических разрядов в каротидном нерве ( $CA_{Nc}$ ), суммарная активность в этом нерве ( $CA_{Nc}$ ); все значения выражены в % к исходным и приведены со средней ошибкой средних величин (данные опытов на трех собаках); на Б соотношение длительности циклов симпатической активности и  $R-R$  интервалов в исходном состоянии (слева), после потери 100 мл (в середине) и 200 мл (справа) крови у собак весом 18 кг; для удобства сопоставления на среднем и правом графиках нанесена та же линия регрессии, что и для исходных данных.

такой результат согласуется с данными Бэшоу и Питерсона [1]. Перфузионное давление повышается также при рефлекторном возбуждении симпатической нервной системы, вызываемом закрытием воздухоносных путей (рис. 4, В). Напротив, после перерезки  $Nc$  оно снижается (рис. 4, Г). Следствием повышения жесткости сосудистой стенки может быть уменьшение импульсации барорецепторов [2, 4, 13].

На функцию барорецепторов можно повлиять не только косвенно, изменяя свойства сосудистой стенки, как преобразовательного элемента, но и непосредственно. Усиление эффеरентных импульсов, вызванное резким снижением АД или перекрытием трахеальной канюли (рис. 5, А), усиливает барорецепторные разряды. После кратковременного электрического раздражения  $Nc$  от сино-каротидного нерва удается отвести афферентные разряды (рис. 5, Б), несмотря на то, что в данных условиях опыта барорецепторы совершенно не подвергаются действию давления.

Таким образом, 1) симпатические импульсы регулируют свойства сосудистой стенки, как вспомогательного элемента рецепторов; при этом реакции сосудистой стенки (судя по временному ходу перфузионного давления) таковы, что их способны вызывать тонические изменения

активности симпатической системы барорецепторов, и возникновение сигналов в с достаточностью очень короткого чувствительность барорецепторов активности.

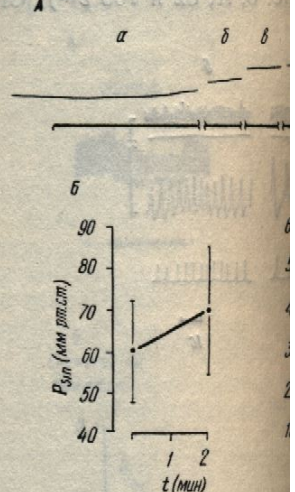
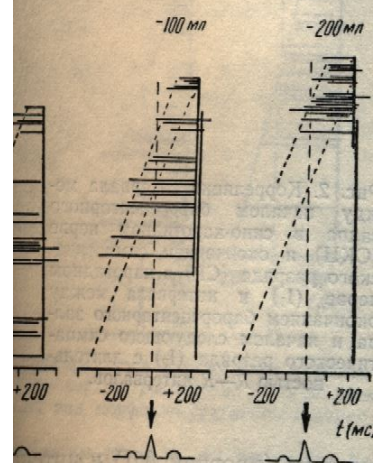


Рис. 4. Изменения перфузионного кровью в режиме постоянного расхода. На А: давление в каротидном синусе (исходное состояние и начало раздражения конца раздражения); на Б — средние данные шести опытов с закрытием троцерезекции каротидного синуса. В

Наши данные о влиянии Бэшоу и Питерсона на каротидный синус при этом повышение чувствительности в работах Коцуми и

*Влияние эффеरентного артериального давления: исследования. Изменения механического расположения барорецепторов могут изменять функциональные свойства симпатического устройства». Дальнейшие исследования показали, что исследовали реакции системы с ранними данными. Поступление, постепенное снижение АД в каротидном синусе было 8 с<sup>-1</sup> (рис. 6, А). В каротидные нервы (целостность нервов) дражения  $Nc$  зажимали канюли. Отклонения АД были результатом под влиянием симпатической активации. Установившееся спустя 20–40 с открытие канюли, вследствие чего АД во времени соответствует давлению (рис. 4, А) и*

ля этого измеряли перфузионное сонной артерии, через которую тече. Во время электрического тока порядка 10–15 с начиналось и достигало нового установившегося (рис. 4, А и Б). В принципе



от сердцебиений и симпатической активации кровью со скоростью 10 мл/мин. тоническое,  $P_d$  — диастолическое), частота в каротидном нерве ( $\Delta_{Nc}$ ), суммарная в % к исходным и приведены со средней ошибкой); на В соотношение длительности циклов состояния (слева), после потери 100 мл кг; для удобства сопоставления на среднем синусе, что и для исходных данных.

Бэгшоу и Питерсона [1]. При рефлекторном возбуждении от закрытием воздухоносных бронхов  $Nc$  оно снижается и сосудистой стенки может привести к гипертензии [2, 4, 13].

Влиять не только косвенно, преобразовательного элемента, генерирующего импульсы, вызванное и трахеальной канюли (рис. 13). После кратковременного каротидного нерва удается отнести на то, что в данных условиях подвергаются действию дав-

импульсы регулируют свойства элемента рецепторов, при временном ходу перфузии вызывать тонические изменения

### Настройка диапазона чувствительности

активности симпатической нервной системы; 2) ее импульсы изменяют свойства барорецепторов, как «измерительного устройства», влияя на возникновение сигналов в самих нервных элементах. Для такой реакции достаточно очень короткого времени и потому можно предполагать, что чувствительность барорецепторов способна меняться при каждом цикле их активности.

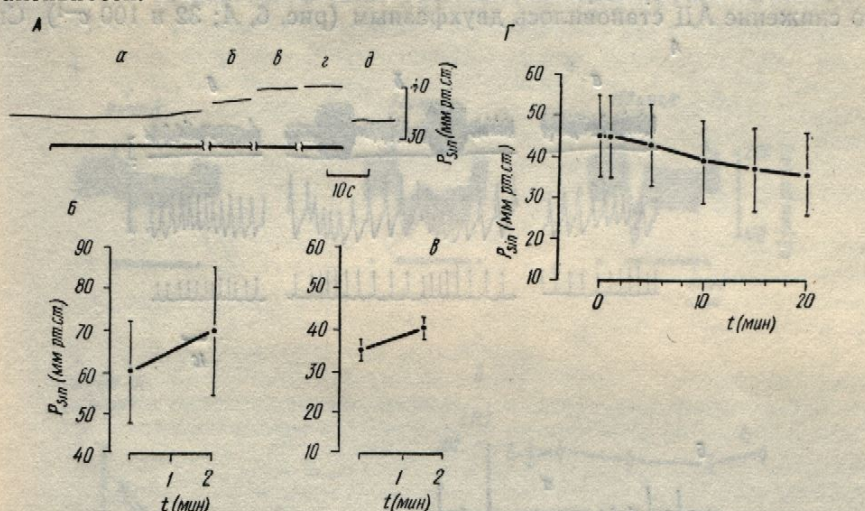


Рис. 4. Изменения перфузионного давления ( $P_{\text{son}}$ ) в изолированном, перфузируемом кровью в режиме постоянного расхода каротидном синусе при различных воздействиях.

На А: давление в каротидном синусе при электрическом раздражении  $Nc$  с частотой  $16 \text{ с}^{-1}$  (а — исходное состояние и начало раздражения; б, в, г — через 1, 1,5 и 2 мин; д — через 3 мин после конца раздражения); на Б — средние данные семи опытов с тем же воздействием; на В — средние данные шести опытов с закрытием трахеальной канюли; на Г — средние данные четырех опытов с перерезкой каротидного нерва. Вертикальные черточки — средняя ошибка средних величин.

Наши данные о влияниях на сосудистую стенку совпадают с сообщением Бэгшоу и Питерсона [1] об уменьшении внешнего диаметра каротидного синуса при электрическом раздражении  $Nc$ . Указание на повышение чувствительности нервных элементов барорецепторов имеется в работах Коцуки и Сато [12], а также Сэмпсона и Миллса [18].

**Влияние эfferентного контроля барорецепторов на регулирование артериального давления: исследование при замкнутом контуре регулирования.** Изменения механического состояния сосудистой стенки в области расположения барорецепторов и (или) их чувствительности должны изменять функциональные свойства барорецепторной зоны, как «измерительного устройства». Для выяснения этого вопроса в серии опытов исследовали реакции системного АД на раздражение  $Nc$ . В соответствии с ранними данными Пальме [14] и Кежди [11], наблюдали медленное, постепенное снижение АД, если частота раздражения не превышала  $8 \text{ с}^{-1}$  (рис. 6, А). В этих опытах предварительно перерезали аортальные нервы (целостность блуждающих сохраняли), а во время раздражения  $Nc$  зажимали контралатеральную сонную артерию. Поэтому отклонения АД были результатом изменения «показаний» барорецепторов под влиянием симпатической импульсации. АД начинает снижаться спустя 20–40 с от начала раздражения (рис. 6, А;  $8 \text{ с}^{-1}$ ) и примерно через 100 с оно достигает новой установившейся величины. Снижение АД во времени соответствует динамике повышения перфузионного давления (рис. 4, А) или уменьшению диаметра каротидного синуса

[1]. Очевидно, снижение АД является следствием усиленного возбуждения барорецепторов, которое в свою очередь зависит от повышения напряжения соответствующих участков сосудистой стенки каротидного синуса в результате вызываемого раздражением  $Nc$  высвобождения симпатического передатчика и сокращения гладких мышц [9].  
Если частота раздражения  $Nc$ ...

Если частота раздражения  $Nc$  достигала  $16 \text{ c}^{-1}$  или была еще выше, то снижение АД становилось двухфазным (рис. 6, A;  $32$  и  $100 \text{ c}^{-1}$ ). Сна-

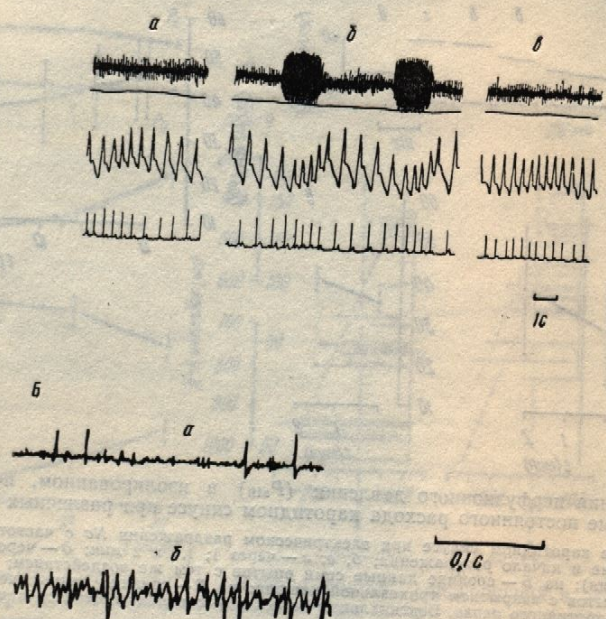
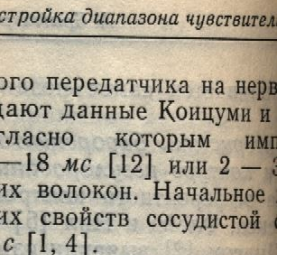


Рис. 5. Усиление афферентных разрядов в сино-каротидном нерве, вызванное закрытием трахеальной канюли у животного со спонтанным дыханием в условиях перфузии изолированной бифуркации сонной артерии в режиме постоянного расхода кровью (A) и электрическим раздражением наружного каротидного нерва (*Nc*) при нулевом давлении в каротидном синусе (B).

На А (сверху вниз): нейrogramма сино-каротидного перва, перфузионное давление в каротидном синусе (калибронка 80–100 мм рт. ст.), давление в язычной артерии (калибронка 100–200 мм рт. ст.), ЭКГ; а — исходное состояние, б — через 20–30 с после закрытия трахеальной канюли, в — через 15 с после открытия канюли; на Б — афферентные потенциалы в сино-каротидном перве до (а) и тотчас по окончании (б) раздражения *Nc*, длившегося 3 с (32 с-1).

чала АД падает круто (фаза I), затем на короткое время повышается и вновь снижается до стабильного уровня (фаза II). На рис. 6, B можно видеть, что величина  $P_1$ , т. е. максимальное снижение давления во время фазы I, возрастает с увеличением частоты раздражения, но при частотах 64 и  $100\text{ c}^{-1}$ , по-видимому, достигает предела. Время  $t_1$  от начала раздражения до достижения наиболее низкой для фазы I величины АД с ростом частоты раздражения сокращается и становится самым коротким (20 с) при частоте  $100\text{ c}^{-1}$  (рис. 6, B). Время  $t_2$ , необходимое для того, чтобы снижающееся в течение фазы II давление достигло стабильного уровня, составляет около 100 с (рис. 6, B).

Начальное быстрое снижение АД (фаза I) не связано отчетливо с механической реакцией сосудистой стенки каротидного синуса. Такая реакция возникает позднее и полностью развивается на 2–3 мин [1, 4, 7]. Таким образом, начальное снижение АД представляет собой результат непосредственного влияния высвобождающегося симпатиче-



Time (час)	$V̇O_2$ (open circles ○)	$V̇O_2$ (closed circles ●)
4	~65	~55
8	~58	~52
16	~52	~48
32	~48	~42
64	~45	~38

Рис. 6. Влияние электрического раз

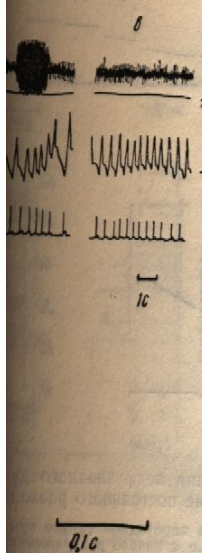
На А: различие динамики депрессоров, которого отмечен жирной линией; третий на контраполаральную сонную артерию установленного (фаза I,  $P_2$ ) снижен зависимость времени достижения пика шеющей величины его снижения в фазе 7 собаках. Вертикальные

Время  $t_2$  от начала различия АД в фазе II не всегда было одинаковым — оно же устанавливавшаяся величина. Она достигала максимума в некоторых опытах при  $16\text{ c}^{-1}$  и достигаемая в фазе II установляется развитию механических

Таким образом, эффе<sup>р</sup>е чувствительность сино-кароти непосредственно. По динам

следствием усиленного возбуждения, в первую очередь зависит от повышения сосудистой стенки каротидного дражением  $Nc$  высвобождения гладких мышц [9]. Гала  $16 \text{ c}^{-1}$  или была еще выше,  $m$  (рис. 6, A; 32 и  $100 \text{ c}^{-1}$ ). Сна-

ского передатчика на нервные структуры барорецепторов. Это подтверждают данные Коицуми и Сато [12], а также Сэмпсона и Миллса [18], согласно которым импульсы барорецепторов возникают спустя 16—18 мс [12] или 2—3 с [18] от начала раздражения симпатических волокон. Начальное же, еще едва заметное изменение механических свойств сосудистой стенки развивается самое ранее через 10—15 с [1, 4].



отидном нерве, вызванное закрытием дыхания в условиях перфузии изотонического раствора кровью (A) и го нерва ( $Nc$ ) при нулевом давлении (B).

и, перфузионное давление в каротидном артерии (калиброка 100—200 м.м рт. ст.), закрытия трахеальной канюли, — через циали в сино-каротидном нерве до (a) и длившегося 3 с ( $32 \text{ c}^{-1}$ ).

а короткое время повышается (фаза II). На рис. 6, B можно обнаружить снижение давления во времени раздражения, но не превышает предела. Время  $t_1$  от начала для фазы I величина  $P_1$  возвращается и становится самым  $t_2$ . Время  $t_2$ , необходимое для фазы II давление достигло стационарного уровня (рис. 6, B).

за I не связано отчетливо с давлением в сино-каротидном синусе. Такая реакция развивается на 2—3 мин. Снижение АД представляет собой явление, возникающее в результате симпатич-

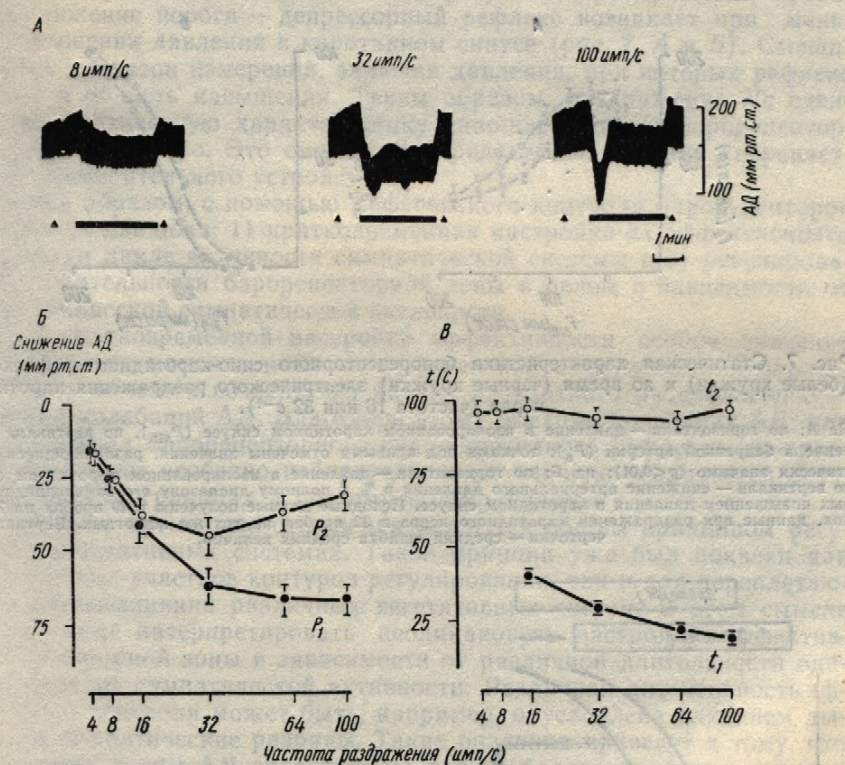


Рис. 6. Влияние электрического раздражения наружного каротидного нерва на артериальное давление.

На A: различные динамики депрессорных реакций в зависимости от частоты раздражения (период которого отмечен жирной линией; треугольниками обозначены моменты наложения и снятия зажима на контраполарную сонную артерию); на B — зависимости величины начального (фаза I;  $P_1$ ) и установившегося (фаза II;  $P_2$ ) снижения артериального давления от частоты раздражения; на B: зависимость времени достижения пика начального снижения давления в фазе I ( $t_1$ ) и установившейся величины его снижения в фазе II ( $t_2$ ) от частоты раздражения. Средние данные 16 проб на 7 собаках. Вертикальные черточки — средняя ошибка средних величин.

Время  $t_2$  от начала раздражения до достижения установившейся величины АД в фазе II не зависело от частоты раздражения и почти всегда было одинаковым — около 100 с во всех опытах (рис. 6, B). Сама же установившаяся величина  $P_2$ , напротив, зависит от частоты раздражения. Она достигала максимального значения при частоте  $32 \text{ c}^{-1}$ , а в некоторых опытах при  $16 \text{ c}^{-1}$  (рис. 6, B). Время достижения АД и величина его снижения в фазе II соответствуют развитию механической реакции стенки каротидного синуса.

Таким образом, эффеरентный контроль может воздействовать на чувствительность сино-каротидных барорецепторов как косвенно, так и непосредственно. По динамике снижения АД можно заключить, что

перестройка их измерительной функции заканчивается самое позднее в течение 2 мин.

**Эфферентный контроль статической характеристики барорецепторного рефлекса: исследование при разомкнутом контуре регулирования.** До сих пор остается невыясненным значение эфферентного контроля для сино-каротидного барорецепторного рефлекса. Флойд и Нил [5] не обнаружили никаких изменений, а Болтер и Лидсом [2] выявили изме-

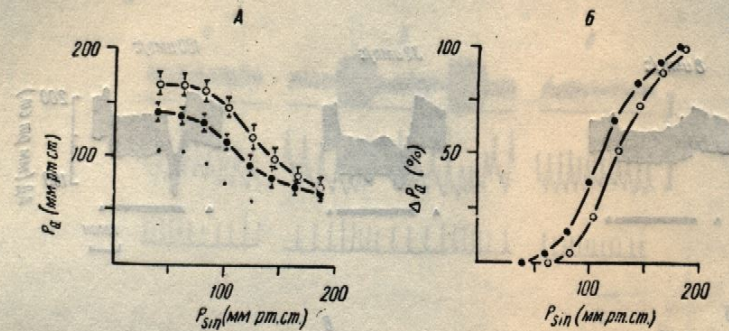


Рис. 7. Статическая характеристика барорецепторного сино-каротидного рефлекса до (белые кружки) и во время (черные кружки) электрического раздражения каротидного нерва (частота 16 или  $32\text{ c}^{-1}$ ).

На А: по горизонтали — давление в изолированном каротидном синусе ( $P_{sin}$ ), по вертикали — давление в бедренной артерии ( $P_a$ ); точками под кривыми отмечены значения, различающиеся статистически значимо ( $p < 0,01$ ); на Б: по горизонтали — давление в изолированном каротидном синусе, по вертикали — снижение артериального давления в % к полному диапазону его изменений, вызванное повышением давления в каротидном синусе. Исходные данные получены в 39 пробах на 7 собаках, данные при раздражении каротидного нерва в 32 пробах на тех же животных. Вертикальные черточки — средняя ошибка средних величин.

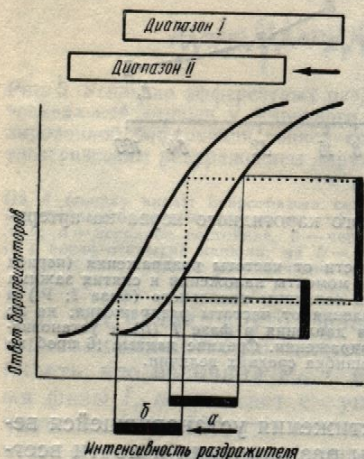


Рис. 8. Смещение рабочей области характеристики барорецепторной зоны в результате местной настройки.

При переходе измеряемой величины из области  $a$  в область  $b$  интегральный ответ барорецепторов резко уменьшается, сдвигаясь из области  $I$  в область  $II$ , если при этом одновременно не происходит изменения настройки диапазона измерения рецепторов (диапазон  $I$ ). Если же в результате эфферентного контроля диапазон измерения перестраивается (диапазон  $II$ ), то ответ рецепторов остается в области  $I$ .

нения рефлекса при пробах с невысоким и очень высоким давлением. Однако по их данным, важная область средних давлений остается неизменной. Соответственно, в следующей серии опытов мы исследовали изменения статической характеристики барорецепторного рефлекса [15], вызываемые раздражением Nc. Для этого циркуляторно изолированную бифуркацию сонной артерии подвергали воздействию давления различной величины и измеряли возникающие при этом изменения системного АД.

## Настройка диапазона чувствительности

В этих опытах также раздражения зажимали когда изменения статической характеристики состояния только исключительно использовали раньше, чем через 2 мин при достижении устойчивого состояния снижение порога — дальше повышении давления входит весь диапазон измерений, выходят в область насыщения всю статическую характеристику слева. Это свойство «измерительного устройства».

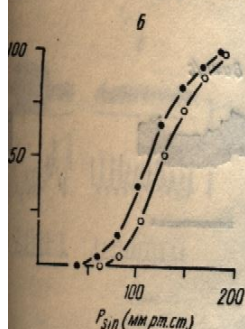
Таким образом, с помощью достигаются две цели: 1) при каждом цикле активизация чувствительности барорецептора уровня тонической симпатии.

Для кратковременной настройки имеет близость момента появления раздражения на рецепторах и момента воздействия пульсовых колебаний АД. Входной сигнал барорецепторамому, действуют особенно в таких временных границах и

Подобные временные огибающие в вегетативных системах для отдельных участков конечных взаимовлияний различаются также интерпретации настолько, что характеристики рецепторной зоны в различных циклах симпатического и парасимпатического контроля могут отличаться. На симпатических раздражительных волнах АД отображается в сложенном виде и плавные изменения для контура регулирования измеряемой величины (АД) в результате сигнала к «измерителю», регулирующему АД, являясь системой — дыхания.

Кратковременная настройка тонической активности симпатических влияний выравнивает раздражители путем местной настройки величины. В наибольшей характеристике барорецепторов области отклонений АД помимо прочих причин, включая настройку барорецепторов, уже ничтожные отклонения, четко отразятся на афферентном сокращении ширине зоны изменения за диапазон измерения.

заканчивается самое позднее  
изменение статической характеристики барорецепторного контура регулирования. Изменение эффеरентного контроля рефлекса. Флойд и Нил [5] не и Лидсом [2] выявили изме-



ного сино-каротидного рефлекса до статического раздражения каротидного ( $32 \text{ c}^{-1}$ ).

одном синусе ( $P_{sin}$ ), по вертикали — давления значения, различающиеся статично в изолированном каротидном синусе, полному диапазону его изменений, вызвано- данных получены в 39 пробах на 7 соба- обах на тех же животных. Вертикальные дних величин.

ние рабочей области характеристи- торной зоны в результате местной настройки.

меряемой величины из области  $a$  в об- щий ответ барорецепторов резко умень- шает из области  $1$  в область  $2$ , если при- но не происходит изменения настройки рецепторов (диапазон  $I$ ). Если же эффе- рентного контроля диапазон измерения (диапазон  $II$ ), то ответ рецепторов остаётся в области  $1$ .

очень высоким давлением. единичных давлений остается нер- рии опытов мы исследовали барорецепторного рефлекса того циркуляторно изолиро- гали воздействию давления оющие при этом изменения

### Настройка диапазона чувствительности

В этих опытах также перерезали аортальные нервы, а во время раздражения зажимали контроллеральную сонную артерию. Поэтому изменения статической характеристики могли быть результатом изменений состояния только исследуемого «измерительного устройства». Для раздражения использовали частоты  $16$  и  $32 \text{ c}^{-1}$ . Давление изменяли не раньше, чем через  $2 \text{ мин}$  после начала раздражения  $Nc$ , т. е. после достижения устойчивого состояния. В результате раздражения происходит снижение порога — депрессорный рефлекс возникает при меньшем повышении давления в каротидном синусе (рис. 7, A и B). Смещается весь диапазон измерения, включая давления, при которых рефлекс выходит в область насыщения. Таким образом, раздражение  $Nc$  сдвигает всю статическую характеристику сино-каротидного барорецепторного рефлекса влево. Это смещение определяется местной перенастройкой «измерительного устройства».

Таким образом, с помощью эффеरентного контроля барорецепторов достигаются две цели: 1) кратковременная настройка их эффективности при каждом цикле активности симпатической системы и 2) регулирование чувствительности барорецепторной зоны в целом в зависимости от уровня тонической симпатической активности.

Для кратковременной настройки эффективности особое значение имеет близость момента посылки эффеरентной импульсации к барорецепторам и момента воздействия на них адекватного раздражителя — пульсовых колебаний АД. Благодаря этому быстрые колебания АД, как входной сигнал барорецепторного сино-каротидного рефлекса, по-видимому, действуют особенно избирательно: их влияние усиливается в узких временных границах и поэтому подчеркивается.

Подобные временные отношения являются общим принципом регуляции в вегетативных системах. Такой принцип уже был показан как для отдельных участков контуров регулирования, так и для переплетающихся взаимовлияний различных вегетативных систем. В этом смысле следует также интерпретировать неодинаковую настройку эффективности рецепторной зоны в зависимости от различной длительности одиночных циклов симпатической активности. Различная интенсивность эффеरентного контроля может быть, например, обусловлена влиянием дыхания на симпатические разряды. Такие различия приведут к тому, что дыхательные волны АД отразятся на потоке барорецепторных импульсов в сложенном виде и поэтому не будут представлять собой возмущения для контура регулирования АД. В этом случае как отклонение измеряемой величины (АД), так и изменение интенсивности эффеरентных сигналов к «измерительному устройству» возникают вне контура, регулирующего АД, являясь ответами на влияния другой вегетативной системы — дыхания.

Кратковременная настройка эффективности не зависит от уровня тонической активности симпатической системы. Напротив, ее тонические влияния выравнивают интегральную чувствительность барорецепторов путем местной настройки на диапазон средних значений измеряемой величины. В наиболее благоприятном случае рабочая область на характеристике барорецепторной зоны совпадает со средним участком области отклонений АД (рис. 8). Отсюда следует, что для регулирования АД помимо прочих условий выгодно, чтобы разностная чувствительность барорецепторов была всегда оптимальной. В этом случае, уже чистотные отклонения АД от средней области его поддержания четко отразятся на афферентном потоке. Кроме того, местное приспособление ширины зоны измерения препятствует преждевременному выходу за диапазон измерений, как это могло бы, например, произойти

при падении АД в результате потери крови. Таким образом, мы показали, что эfferентный контроль барорецепторов, осуществляя местную настройку диапазона их функционирования, участвует в стабилизации и оптимизации процессов регулирования артериального давления.

### Литература

1. Bagshaw R. J., Peterson L. H. Sympathetic control of the mechanical properties of the canine carotid sinus.—Am. J. Physiol., 1972, 222, p. 1462—1468.
2. Bolter C. P., Ledsome J. R. Effect of cervical sympathetic nerve stimulation on canine carotid sinus reflex.—Am. J. Physiol., 1976, 230, p. 1026—1030.
3. Brattström A., Warzel H., Ludwig K. Der Einfluß efferenter sympathischer Aktivität auf die Empfindlichkeit der Pressorezeptoren.—Biokybernetik, Jena, 1975, 5, S. 116.
4. Brattström A. Adaptation of controlled range of the carotid sinus baroreceptors.—Proceeding IFAC.—Symp., Leipzig, 1977, 4, p. 39—46.
5. Floyd W. F., Neil E. The influence of the sympathetic innervation of the carotid bifurcation on chemoceptor and baroceptor activity in the cat.—Arch. int. pharmacodyn., 1952, 91, p. 230—239.
6. Gepper G., Taylor D. G., Weaver L. C. Electrophysiological studies of the organization of central vasopressor pathways.—Am. J. Physiol., 1973, 224, p. 470—481.
7. Gerova M., Gero J. Range of the sympathetic control of the dog femoral artery.—Circ. Res., 1969, 24, p. 349—359.
8. Hauss H., Kreuzinger H., Asteroth H. Über die Reizung der Pressorezeptoren im Sinus Caroticus beim Hund.—Zeitschrift für Kreislaufforschung, 1949, 38, S. 28—33.
9. Keatinge W. R., Torrie C. Action of sympathetic nerve on inner and outer muscle of sheep carotid artery and effect of pressure on nerve distribution.—J. Physiol. (London), 1976, 257, p. 699—712.
10. Keith I. C., Kidd C., Malpus C. M., Penna P. E. Reduction of baroreceptor impulse activity by sympathetic nerve stimulation.—J. Physiol. (London), 1974, 238, p. 61—62.
11. Kezdi P. Control by the superior cervical ganglion on the state of contraction and pulsatile expansion of the carotid sinus arterial wall.—Circ. Res., 1954, 11, p. 367—371.
12. Koizumi K., Sato A. Influence of sympathetic innervation on carotid sinus baroreceptor activity.—Am. J. Physiol., 1969, 216, p. 321—329.
13. Koushanpour E., Kelso D. M. Partition of the carotid sinus baroreceptor response in dog between the mechanical properties of the wall and the receptor elements.—Circ. Res., 1972, 31, p. 831—845.
14. Palme F. Zur Funktion der branchiogenen Reflexzonen für Chemo- und Pressorezeptoren.—Z. exp. Med., 1944, S. 415—461.
15. Palme F., Kalkhoff W. Die Beurteilung von Zustandsänderungen in der pressoreptischen Reflexzone mit Hilfe gleichzeitiger Registrierung von Blutdruck und Aktionspotentialen des undurchschnittenen Sinusnerven.—C. r. int. d. Angeiol. (Fribourg.), 1956, S. 60—63.
16. Rees P. M. Observations on the fine structure and distribution of presumptive baroreceptor nerves at the carotid sinus.—J. Comp. Neur., 1967, 131, p. 517—548.
17. Reis D. J., Fuxe K. Adrenergic innervation of the carotid sinus.—Am. J. Physiol., 1968, 215, p. 1054—1057.
18. Sampson S. R., Mills E. Effects of sympathetic stimulation on discharge of carotid sinus baroreceptors.—Am. J. Physiol., 1970, 218, p. 1650—1653.
19. Seller H., Langhorst P., Richter D., Koepchen H. P. Über die Abhängigkeit der pressoreptischen Hemmung des Sympathikus von der Atemphase und ihre Auswirkung in der Vasomotorik.—Pflügers Arch., 1968, 302, S. 300—314.

Институт физиологии Медицинской академии,  
Магдебург, ГДР

Поступила в редакцию  
22.III 1978 г.

A. Brattström  
ADAPTATION OF SENSITIVE RANGE OF THE CAROTID SINUS BARORECEPTORS  
Summary

The article deals with the effect of efferent innervation on the carotid sinus, local processes in the carotid sinus induced by efferent signals as well as with the significance of the efferent control of sinocarotid baroreceptors sensitivity for reflex regulation of arterial pressure. It is shown that the efferent control of the baroreceptors, performing the local adaptation of their functioning range, takes part in stabilization and optimization of the processes of the arterial pressure regulation.

УДК 616.127—008.9—097.3—085.273.53

### РОЛЬ СПЕЦИФИЧЕСКОГО ЭЛЕКТРОМЕХАНИЧЕСКОГО ВЛИЯНИЯ

В настоящее время выдвигаются гипотезы, что при многих заболеваниях сердечно-сосудистой системы имеется автоантитела.

Опыты, проведенные в электронной микроскопии, показывают, что иммунное воздействие на организм приводит к изменениям в клетках-мишених, обусловленным нарушением в них «пор» [16, 30]. Однако, многие из этих изменений на организм до сих пор неясны. Это касается влияния специфических свойств клеточных мембран сердечной мышцы.

Мы изучали влияние специфической механической активности и волнистости на сердечной мышце.

### Методы

Эксперименты проведены на лягушке *Rana temporaria* и на ушах пресмыкающихся. Потенциалы действия (ПД) регистрировались с помощью рефракторных реагентов [40], заполненных 2,5% раствором кальция сопротивлением 30—40 МОм. Сокращения с помощью механотрона Рингера, сердца морской свинки — аэрировали газовой смесью: 96% кислорода и 4% углекислого газа, держивали в пределах  $36 \pm 0,5^\circ\text{C}$ , в газовыми импульсами тока длительностью 1 мсек. Импульсы «врабатывались» в течение 1 секунды.

Антисыворотку, специфическую обычным способом: кроликов иммунную сыворотку реагировали в реакции 1:320—1:1280, а в реакции колпачка по белку до 5—20 мкг.

В опытах использовали  $\gamma$ -глобулины аммонием из сыворотки иммунизированной кролика (γ-НКС). Исходный раствор иммунных контролльных опытов использовали водили гомологичным антигеном [3 группы А]. Полноту истощения предмета в растворе  $\gamma$ -глобулина не добивались, раствором Рингера и Тирода (в зави-